

Учитывая определения x и y , это можно записать в виде

$$\varphi(\xi) = e^{-\frac{\sigma}{2} \xi^2}, \quad (58)$$

где

$$\sigma = \gamma \gamma^* \operatorname{cth} \left(\frac{\hbar \omega}{2kT} \right). \quad (59)$$

Поскольку характеристическая функция распределения является гауссовой, само распределение также выражается законом Гаусса: это распределение со средним квадратичным отклонением σ , что и требовалось доказать.

Раздел III. ИЗОТРОПНЫЕ МНОГОМЕРНЫЕ ГАРМОНИЧЕСКИЕ ОСЦИЛЛЯТОРЫ

§ 13. Общее исследование изотропного осциллятора в p измерениях

Гармонический изотропный осциллятор в p измерениях есть p -мерная система с гамильтонианом

$$\mathcal{H} = \sum_{i=1}^p \mathcal{H}_i, \quad (60)$$

где

$$\mathcal{H}_i = \frac{1}{2m} (p_i^2 + m^2 \omega^2 q_i^2). \quad (61)$$

Пусть \mathcal{E}_1 — пространство динамических состояний, относящееся к паре переменных (p_1, q_1) , \mathcal{E}_2 — пространство состояний, относящееся к паре (p_2, q_2) и т. д. Пространство \mathcal{E} динамических состояний рассматриваемой системы есть тензорное произведение пространств $\mathcal{E}_1, \mathcal{E}_2, \dots, \mathcal{E}_p$:

$$\mathcal{E} = \mathcal{E}_1 \otimes \mathcal{E}_2 \otimes \dots \otimes \mathcal{E}_p. \quad (62)$$

Обозначим с помощью $|n_i\rangle$ (i фиксировано, $n_i = 0, 1, \dots, \infty$) собственные векторы гамильтониана \mathcal{H}_i , рассматриваемого как оператор в пространстве \mathcal{E}_i ; эти векторы образуют полную ортонормированную систему в \mathcal{E}_i . В дальнейшем будем предполагать, что фазы векторов выбраны так, что выполняются соотношения (17—20), где операторы рождения и уничтожения относятся к переменным типа i . Векторы

$$|n_1 n_2 \dots n_p\rangle \equiv |n_1\rangle |n_2\rangle \dots |n_p\rangle \quad (63)$$

$(n_1 = 0, 1, \dots, \infty; n_2 = 0, 1, \dots, \infty; \dots; n_p = 0, 1, \dots, \infty)$,

образованные тензорным умножением векторов, принадлежащих соответственно пространствам $\mathcal{E}_1, \mathcal{E}_2, \dots, \mathcal{E}_p$, образуют

полную ортонормированную систему в \mathcal{E}^2). Ясно, что эти векторы являются собственными векторами \mathcal{H} . Далее, поскольку

$$\mathcal{H}_1 |n_1\rangle = (n_1 + 1/2) \hbar\omega |n_1\rangle,$$

$$\mathcal{H}_p |n_p\rangle = (n_p + 1/2) \hbar\omega |n_p\rangle,$$

имеем

$$\begin{aligned} \mathcal{H} |n_1 \dots n_p\rangle &= (\mathcal{H}_1 + \dots + \mathcal{H}_p) |n_1 \dots n_p\rangle = \\ &= (n_1 + \dots + n_p + p/2) \hbar\omega |n_1 \dots n_p\rangle. \end{aligned}$$

Векторы базисной системы \mathcal{H} , которые мы построили, нумеруются p квантовыми числами n_1, n_2, \dots, n_p , которые могут принимать все целые значения от 0 до $+\infty$. Однако соответствующее собственное значение энергии

$$(n_1 + \dots + n_p + p/2) \hbar\omega$$

зависит только от суммы

$$n = n_1 + n_2 + \dots + n_p$$

этих p чисел. При заданном значении n (≥ 0) существует

$$C_{n+p-1}^n \equiv \frac{(n+p-1)!}{n! (p-1)!} \quad (64)$$

различных наборов чисел n_1, n_2, \dots, n_p . Собственное значение $(n + p/2) \hbar\omega$, таким образом, C_{n+p-1}^n -кратно вырождено.

Введем операторы поглощения и рождения квантов типа i :

$$\begin{aligned} a_i &= \left(\frac{m\omega}{2\hbar} \right)^{1/2} q_i + i (2m\hbar\omega)^{-1/2} p_i, \\ a_i^+ &= \left(\frac{m\omega}{2\hbar} \right)^{1/2} q_i - i (2m\hbar\omega)^{-1/2} p_i. \end{aligned} \quad (65)$$

Они удовлетворяют коммутационным соотношениям (см. (10))

$$\begin{aligned} [a_i, a_j] &= [a_i^+, a_j^+] = 0, \\ [a_i, a_j^+] &= \delta_{ij} \quad (i, j = 1, \dots, p). \end{aligned} \quad (66)$$

Согласно определению векторов $|n_i\rangle$, данному выше, векторы $|n_1 \dots n_p\rangle$ удовлетворяют соотношениям, обобщающим (17—20). В частности, если обозначить символом $|0\rangle$ собственный вектор основного состояния

$$|0\rangle = |\underbrace{0 \dots 0}_{p \text{ раз}}\rangle,$$

2) В представлении $\{q\} = \{q_1, q_2 \dots q_p\}$ вектор $|n_1 n_2 \dots n_p\rangle$ выражается произведением

$$\langle q_1 | n_1 \rangle \langle q_2 | n_2 \rangle \dots \langle q_p | n_p \rangle = \psi_{n_1}(q_1) \psi_{n_2}(q_2) \dots \psi_{n_p}(q_p).$$

то можно написать

$$a_1 | 0 \rangle = a_2 | 0 \rangle = \dots = a_p | 0 \rangle = 0, \quad (67)$$

$$| n_1 \dots n_p \rangle = (n_1! \dots n_p!)^{-1/2} a_1^{+n_1} \dots a_p^{+n_p} | 0 \rangle. \quad (68)$$

Спектр наблюдаемых

$$N_i \equiv a_i^{\dagger} a_i \quad (i = 1, 2, \dots, p) \quad (69)$$

состоит из целых неотрицательных чисел; эти наблюдаемые интерпретируются как число квантов типа 1, 2, ..., p соответственно. Сумма

$$N = \sum_{i=1}^p N_i$$

есть полное число квантов. Имеем

$$\mathcal{H} = (N + p/2) \hbar\omega.$$

Ясно, что N_1, N_2, \dots, N_p образуют полный набор коммутирующих наблюдаемых, причем их базисная система совпадает с базисной системой \mathcal{H} , которую мы построили.

Операторы N_i , очевидно, не являются единственными постоянными движения, образующими полный набор. Всякий оператор вида $a_i a_j^{\dagger}$ коммутирует с \mathcal{H} ; с помощью линейных комбинаций операторов этого типа и им сопряженных можно построить p^2 независимых эрмитовых операторов. Среди функций от этих p^2 постоянных движения существует несколько полных наборов коммутирующих наблюдаемых. Проиллюстрируем это обстоятельство на примере двух частных случаев $p = 2$ и $p = 3$.

§ 14. Изотропный осциллятор в двух измерениях

Рассмотрим систему в двух измерениях с гамильтонианом

$$\mathcal{H} = \frac{1}{2m} (p_1^2 + m^2\omega^2 q_1^2) + \frac{1}{2m} (p_2^2 + m^2\omega^2 q_2^2).$$

Исследование предшествующего параграфа полностью применимо к этому частному случаю. Следующая таблица дает собственные значения \mathcal{H} (первый столбец), кратность вырождения (второй столбец) и последовательность общих собственных векторов N_1 и N_2 , растягивающих соответствующие подпространства

(третий столбец):

$$\begin{aligned}
 \hbar\omega & 1 & |00\rangle \\
 2\hbar\omega & 2 & |10\rangle, |01\rangle \\
 3\hbar\omega & 3 & |20\rangle, |11\rangle, |02\rangle \\
 \dots & \dots & \dots \\
 (n+1)\hbar\omega & (n+1) & |n0\rangle, |(n-1)1\rangle, \dots, |(n-s)s\rangle, \dots, |0n\rangle
 \end{aligned} \tag{70}$$

Оператор «момента импульса» L , определенный формулой

$$L = \frac{1}{\hbar} (q_1 p_2 - q_2 p_1) = i (a_1 a_2^\dagger - a_1^\dagger a_2), \quad (71)$$

является постоянной движения. Покажем, что N и L образуют другой полный набор коммутирующих наблюдаемых. С этой целью введем операторы

$$\begin{aligned} A_{\pm} &= \frac{\sqrt{2}}{2} (a_1 \mp i a_2), \\ A_{\pm}^{\dagger} &= \frac{\sqrt{2}}{2} (a_1^{\dagger} \pm i a_2^{\dagger}). \end{aligned} \quad (72)$$

Эти операторы удовлетворяют коммутационным соотношениям, тождественным (66):

$$[A_r, A_s] = [A_r^\dagger, A_s^\dagger] = 0, \quad (73)$$

$$[A_r, A_s^\dagger] = \delta_{rs} \quad (r = + \text{ или } -, s = + \text{ или } -).$$

Операторы A_+ и A_+^\dagger можно считать операторами уничтожения и рождения квантов типа (+), операторы A_- и A_-^\dagger — операторами уничтожения и рождения квантов типа (—); согласно этой интерпретации операторы

$$N_+ = A_+^\dagger A_+ \quad \text{и} \quad N_- = A_-^\dagger A_- \quad (74)$$

представляют число квантов (+) и число квантов (-) соответственно. Поскольку соотношения коммутации (73) идентичны соотношениям (66) задача построения общих собственных векторов N_+ и N_- математически идентична задаче построения общих собственных векторов N_1 и N_2 . Следовательно, наблюдаемые N_+ и N_- каждая имеют спектр собственных значений из целых неотрицательных чисел

$$n_+ = 0, 1, 2, \dots, \quad n_- = 0, 1, 2, \dots,$$

и эти две наблюдаемые образуют полный набор коммутирующих наблюдаемых: каждой паре квантовых чисел (n_+, n_-) соответствует единственный общий собственный вектор (с точностью до постоянного множителя),

Из соотношений (67) следует

$$A_+ |00\rangle = A_- |00\rangle = 0. \quad (75)$$

Следовательно, вектор $|00\rangle$ из таблицы (70) есть собственный вектор основного состояния ($n_+ = n_- = 0$). Векторы

$$|n_+ n_-\rangle = (n_+! n_-!)^{-1/2} A_+^{+n_+} A_-^{+n_-} |00\rangle \quad (76)$$

образуют полную ортонормированную последовательность общих собственных векторов N_+ и N_- :

$$N_+ |n_+ n_-\rangle = n_+ |n_+ n_-\rangle,$$

$$N_- |n_+ n_-\rangle = n_- |n_+ n_-\rangle.$$

Однако если выразить N и L через A и A^\dagger , то можно показать, что

$$N = N_+ + N_-,$$

$$L = N_+ - N_-.$$

Ввиду того что наблюдаемые N_+ и N_- образуют полный набор коммутирующих наблюдаемых, их сумма N и их разность L также обладают этим свойством. Именно это мы и хотели показать.

Мы приходим к выводу, что обладаем другой полной ортонормированной последовательностью собственных векторов \mathcal{H} , а именно $|n_+ n_-\rangle$. Они удовлетворяют уравнениям на собственные значения:

$$\mathcal{H} |n_+ n_-\rangle = (n_+ + n_- + 1) \hbar\omega |n_+ n_-\rangle, \quad (77)$$

$$L |n_+ n_-\rangle = (n_+ - n_-) |n_+ n_-\rangle. \quad (78)$$

Определим соотношения коммутации L с A и A^\dagger . Простое вычисление дает:

$$[L, A_\pm] = \pm A_\pm^\dagger, \quad (79)$$

$$[L, A_\pm] = \mp A_\pm. \quad (80)$$

Отсюда следует, что при действии на собственный вектор оператора L операторы A_+^\dagger и A_- увеличивают собственное значение L на единицу, а A_-^\dagger и A_+ уменьшают L на единицу. Это можно истолковать разными способами. В квантовой теории заряженных полей, где поле представляется как последовательность изотропных осцилляторов в двух измерениях, N_+ выражает число положительных частиц, N_- — число отрицательных частиц, L — полный заряд (с точностью до постоянного множителя). Согласно этой интерпретации A_+^\dagger порождает положительный заряд, A_- уничтожает отрицательный заряд, поэтому и тот и другой опе-

раторы изменяют заряд на плюс единицу; A_-^t и A_+ изменяют заряд на минус единицу.

В теории колебаний кристаллов движения решетки также представляются набором изотропных двумерных осцилляторов; кванты колебаний решетки называются фононами. Представление с фононами типа 1 и 2 дает классификацию по стационарным волнам; представление с фононами типа (+) и (-) соответствует бегущим волнам, «распространяющимся» в том или ином направлении. В задачах о рассеянии (нейтронов, рентгеновских лучей и т. д.) на кристаллической решетке представление с бегущими волнами приводит к более простым вычислениям.

§ 15. Изотропный осциллятор в трех измерениях

Изотропный гармонический осциллятор в трех измерениях есть частица в поле центрально-симметричного потенциала, пропорционального квадрату расстояния от центра. Гамильтониан выражается формулой

$$\mathcal{H} = \frac{p^2}{2m} + \frac{1}{2} m\omega^2 r^2, \quad (81)$$

он является суммой трех членов

$$\mathcal{H} = \mathcal{H}_x + \mathcal{H}_y + \mathcal{H}_z,$$

где

$$\mathcal{H}_i = \frac{1}{2m} (p_i^2 + m^2\omega^2 r_i^2) \quad (i = x, y, z). \quad (82)$$

Согласно результатам § 13 собственные значения оператора \mathcal{H} выражаются формулой

$$(n + 3/2)\hbar\omega \quad (n = 0, 1, 2, \dots, \infty); \quad (83)$$

порядок вырождения собственных значений равен $(n+1) \times (n+2)/2$. Наблюдаемые N_x, N_y, N_z образуют полный набор постоянных движения, и собственные векторы $|n_x n_y n_z\rangle$ их базисной системы нумеруются тремя собственными значениями n_x, n_y и n_z . Все эти векторы получаются по формуле

$$|n_x n_y n_z\rangle = (n_x! n_y! n_z!)^{-1/2} a_x^{+n_x} a_y^{+n_y} a_z^{+n_z} |000\rangle \quad (84)$$

из вектора основного состояния $|000\rangle$, который с точностью до постоянного множителя определяется тремя уравнениями

$$a_x |000\rangle = a_y |000\rangle = a_z |000\rangle = 0. \quad (85)$$

Введем момент импульса

$$l \equiv [rp].$$

По хорошо известным свойствам (гл. IX) гамильтониана с центрально-симметричным потенциалом операторы \mathcal{H} , \mathbf{l}^2 и l_z также образуют полный набор коммутирующих наблюдаемых: общие этим трем наблюдаемым собственные векторы $|nlm\rangle$ отмечаются тремя квантовыми числами n , l , m , причем собственные значения \mathcal{H} , \mathbf{l}^2 , l_z соответственно равны: $(n + 3/2)\hbar\omega$, $l(l+1)\hbar^2$ и $m\hbar$. Векторы $|nlm\rangle$ составляют полную ортонормированную систему собственных векторов \mathcal{H} ; они получаются из векторов $|n_x n_y n_z\rangle$ с помощью унитарного преобразования. Мы не будем проводить здесь явного вычисления этих векторов³⁾. Ограничимся тем, что найдем значения, которые могут принимать квантовые числа l и m при заданном n , иначе говоря, найдем различные возможные состояния момента импульса для каждого уровня энергии.

Большое сходство между оператором l_z и оператором L , введенным в предыдущем параграфе, наводит на мысль об аналогичной замене переменных. Вводим операторы A_m ($m = 1, 0, -1$) по формулам

$$\begin{aligned} A_1 &= \frac{\sqrt{2}}{2} [a_x - ia_y], \\ A_0 &= a_z, \\ A_{-1} &= \frac{\sqrt{2}}{2} [a_x + ia_y] \end{aligned} \quad (86)$$

и соответствующие эрмитово сопряженные операторы A_m^\dagger . Операторы A_m и A_m^\dagger удовлетворяют коммутационным соотношениям, аналогичным (73), и могут быть истолкованы как операторы уничтожения и рождения квантов типа m . Число квантов типа m представляется оператором $N_m = A_m^\dagger A_m$. Очевидно, что N_1, N_0 и N_{-1} составляют полный набор коммутирующих наблюдаемых и что

$$\begin{aligned} \mathcal{H} &= (N_1 + N_0 + N_{-1} + 3/2)\hbar\omega, \\ N &= N_1 + N_0 + N_{-1}. \end{aligned}$$

³⁾ В представлении $\{r\}$ состоянию $|n_x n_y n_z\rangle$ соответствует волновая функция $\Psi_{n_x}(x)\Psi_{n_y}(y)\Psi_{n_z}(z)$, состояние же $|nlm\rangle$ представляется функцией

$$\psi_{nlm}(r) = \frac{y_{nl}(r)}{r} Y_l^m(\theta, \varphi),$$

где y_{nl} есть решение, обращающееся в нуль в начале координат и регулярное на бесконечности следующего дифференциального уравнения:

$$\left[-\frac{\hbar^2}{2m} \frac{d^2}{dr^2} + \frac{l(l+1)\hbar^2}{2mr^2} + \frac{1}{2} m\omega^2 r^2 \right] y_{nl} = \left(n + \frac{1}{2} \right) \hbar\omega y_{nl},$$

Каждой тройке собственных значений (n_1, n_0, n_{-1}) соответствует общий собственный вектор трех наблюдаемых, а именно, вектор

$$|n_1 n_0 n_{-1}\rangle = (n_1! n_0! n_{-1}!)^{-1/2} A_1^{+n_1} A_0^{+n_0} A_{-1}^{+n_{-1}} |000\rangle.$$

Множество всех этих векторов образует полную систему собственных векторов \mathcal{H} . Находим

$$\mathcal{H}|n_1 n_0 n_{-1}\rangle = (n + 3/2) \hbar\omega |n_1 n_0 n_{-1}\rangle, \quad n = n_1 + n_0 + n_{-1}.$$

Построенные нами векторы в общем случае не являются собственными векторами l^2 , но это собственные векторы l_z , так как

$$l_z = (N_1 - N_{-1}) \hbar \quad (87)$$

и, следовательно,

$$m = n_1 - n_{-1}. \quad (88)$$

Рассмотрим подпространство собственных векторов \mathcal{H} , принадлежащих собственному значению $(n + 3/2) \hbar\omega$. Оно натянуто на $(n + 1)(n + 2)/2$ векторов $|n_1 n_0 n_{-1}\rangle$ (при этом $n_1 + n_0 + n_{-1} = n$), которые образуют полную ортонормированную последовательность собственных векторов l_z . Согласно уравнению

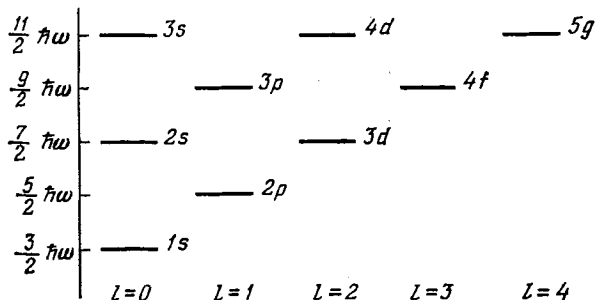


Рис. 37. Спектр трехмерного гармонического осциллятора.

(88), квантовое число m может принимать все целые значения между $-n$ и $+n$. Нетрудно найти число c_m линейно независимых векторов, принадлежащих каждому значению m ; результат приведен в следующей таблице:

$$\begin{array}{ccccccccc} |m| & = & n & n-1 & n-2 & \dots & n-2s & n-(2s+1) & n-(2s+2) \dots \\ c_m & = & 1 & 1 & 2 & \dots & s+1 & s+1 & s+2 \dots \end{array} \quad (89)$$

Однако по свойствам момента импульса каждому собственному значению l^2 , т. е. каждому значению l , соответствует некоторое число серий из $2l+1$ векторов с заданными (lm) , при этом в

каждой серии число m принимает $2l+1$ целых значений от $-l$ до $+l$. Пусть d_l это число серий. Очевидно, что

$$c_m = \sum_{l \geq m} d_l$$

и поэтому

$$d_l = c_l - c_{l+1}.$$

Обращаясь к таблице (89), мы видим, что $d_l = 1$ для $l = n, n-2, \dots, n-2s, \dots$, т. е. для всех целых значений l четности $(-1)^n$, заключенных между 0 и n (включая крайние значения) и что $d_l = 0$ для всех остальных значений l .

В заключение отметим, что каждому собственному значению $(n+3/2)\hbar\omega$ энергии соответствует $(n+1)(n+2)/2$ состояний момента импульса (lm). Для каждого возможного значения l существует $2l+1$ собственных состояний, соответствующих $2l+1$ значениям m от $-l$ до $+l$. Значения, которые может принимать квантовое число l , таковы:

$n, n-2, \dots, 0$, если $(-1)^n = 1$ $\left(\frac{n+2}{2}$ различных значений),

$n, n-2, \dots, 1$, если $(-1)^n = -1$ $\left(\frac{n+1}{2}$ различных значений).

Спектроскопическая диаграмма на рис. 37 представляет основное и первые возбужденные состояния трехмерного изотропного гармонического осциллятора. Полезно сравнить эту диаграмму с соответствующей диаграммой для атома водорода (рис. 36).

ЗАДАЧИ И УПРАЖНЕНИЯ

1. Пусть a и a^\dagger — два эрмитово сопряженных оператора, причем $[a, a^\dagger] = 1$. Полагаем $N = a^\dagger a$. Показать, что:

а) $[N, a^p] = -pa^p$; $[N, a^{+p}] = +pa^{+p}$ (p целое > 0);

б) единственными алгебраическими функциями от a и a^\dagger , коммутирующими с N , являются функции от N .

2. Показать, что операторы a и a^\dagger задачи 1 не имеют обратных.

3. Построить матрицы, представляющие операторы q и p в представлении $\{N\}$ (обозначения § 5). Проверить, что они являются эрмитовыми и удовлетворяют условиям коммутации (2). Рассмотреть проблему собственных значений q в этом представлении, проверить, что спектр q является простым, непрерывным и распространяется от $-\infty$ до $+\infty$, выписать в явном виде собственный вектор, принадлежащий собственному значению 0.

4. Сравниваются свойства квантового осциллятора в состоянии $|n\rangle$ и микроканонического ансамбля классических осцилляторов при той же энергии (§ 10). Показать, что статистическое распределение переменной q в этом

квантовом состоянии обнаруживает осцилляции, тем более частые, чем больше квантовое число n , и в пределе $n \rightarrow \infty$ его среднее значение на нескольких периодах стремится к соответствующему распределению для ансамбля классических осцилляторов (использовать метод ВКБ).

5. Пусть χ_0 , ω_0 , η_0 — начальные значения следующих средних величин:

$$\begin{aligned}\chi &= \langle q^2 \rangle - \langle q \rangle^2, \\ \omega &= \langle p^2 \rangle - \langle p \rangle^2, \\ \eta &= \langle pq + qp \rangle - 2\langle p \rangle \langle q \rangle,\end{aligned}$$

относящихся к волновому пакету гармонического осциллятора. Установить закон эволюции во времени этих средних величин. Показать, что он выражается функциями вида $A + B \cos 2\omega t + C \sin 2\omega t$ и что χ и ω остаются постоянными во времени в том и только в том случае, если

$$\eta_0 = 0, \quad \omega_0 = m^2 \omega^2 \chi_0.$$

6. Состояние гармонического осциллятора в начальный момент времени 0 представляется минимизирующим волновым пакетом

$$|f(q)\rangle = (2\pi\sigma)^{-1/4} \exp\left[\frac{i}{\hbar} \langle p \rangle q - \frac{(q - \langle q \rangle)^2}{4\sigma}\right].$$

Показать, что этот пакет остается минимизирующим в том и только в том случае, если $\sigma = \hbar/2m\omega$ (см. задача 5).

Пусть это условие выполнено. Показать, что в этом случае $f(q)$ есть волновая функция, представляющая состояние

$$|f\rangle = \exp\left(\frac{i}{\hbar} \langle p \rangle q\right) \exp\left(-\frac{i}{\hbar} \langle q \rangle p\right) |0\rangle.$$

Вывести отсюда (пользуясь тождеством (29)), что функция $f(q, t)$ получается с точностью до фазового множителя, если подставить в $f(q)$, вместо значений $\langle q \rangle$ и $\langle p \rangle$ в момент времени 0, их значения в момент времени t . Определить коэффициенты c_n разложения $|f\rangle$ в ряд по собственным векторам гамильтонiana и показать, что

$$|c_n|^2 = e^{-\alpha} \frac{\alpha^n}{n!},$$

$$\alpha = \frac{E_{\text{кл}}}{\hbar\omega};$$

$$E_{\text{кл}} = \frac{1}{2m} (\langle p \rangle^2 + m^2 \omega^2 \langle q \rangle^2).$$

7. Проверить, что теорема Блоха (§ 12) применима также и к классическому гармоническому осциллятору и что статистическое распределение величины $\alpha q + \beta p$ для квантового гармонического осциллятора в термодинамическом равновесии стремится к классическому распределению при достаточно больших температурах $kT \gg \hbar\omega$.

8. Показать, что гамильтониан частицы с массой m и зарядом e в постоянном магнитном поле \mathcal{H} , направленном по оси Oz , имеет вид

$$H = \frac{p_z^2}{2m} + H_\rho,$$

где

$$H_\rho = \frac{1}{2m} (p_x^2 + p_y^2) - \frac{e}{2mc} \mathcal{H} l_z + \frac{e^2}{8mc^2} \mathcal{H}^2 (x^2 + y^2).$$

Показать, что операторы p_z , l_z , H_ρ образуют полный набор коммутирующих постоянных движения и что их общие собственные функции в цилиндрических координатах (z, ρ, θ) могут быть представлены в виде $\exp(ikz) \times \exp(i\lambda\theta) \cdot v_{\lambda,n}(\rho)$. Здесь k — некоторое вещественное число; $\lambda = 0, \pm 1, \pm 2, \dots, \pm \infty$; $n = 0, 1, 2, \dots, \infty$. Соответствующими собственными значениями являются

$$\hbar k, \quad \hbar \lambda, \quad (2n + 1) \frac{e\hbar}{2mc} \mathcal{H}.$$

Сравнить эти результаты с выводами задачи II. 4.